

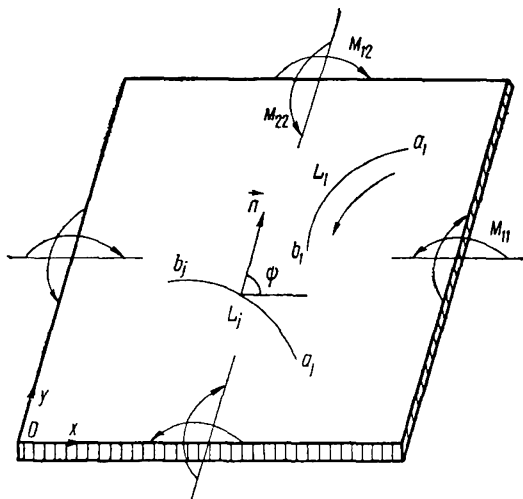
УДК 539.3

Л. А. Фильшинский, В. А. Хандогин

ИЗГИБ АНИЗОТРОПНОЙ ПЛАСТИНЫ, ОСЛАБЛЕННОЙ КРИВОЛИНЕЙНЫМИ РАЗРЕЗАМИ

Методом работы [4] рассмотрена краевая задача теории тонких анизотропных пластин с несколькими криволинейными разрезами. Аналогичная задача для изотропной пластины иным методом решена в работе [2].

§ 1. Формулировка краевой задачи. Пусть неограниченная анизотропная пластина, ослабленная k криволинейными разрезами L_j ($j=1, k$), нагружена на бесконечности изгибающими и крутящими моментами M_{11}, M_{22}, M_{12} . Будем предполагать, что L_j — простые, непересекающиеся разомкнутые дуги Ляпунова. На берегах разрезов зададим изгибающие моменты $m^\pm(t)$ и обобщенную перезывающую силу $q^\pm(t)$, причем будем считать, что $m^+(t)=m^-(t)$ и $q^+(t)=q^-(t)$ (знак + относится к левому берегу L_j при движении от начала разреза — a_j к концу — b_j). Требуется определить напряжения в пластине в окрестности разрезов.



Указанная задача сводится к построению двух аналитических функций $w_1(z_1)$ и $w_2(z_2)$, описывающих усилия и моменты в пластине [1] и удовлетворяющих на L_j краевому условию

$$A(\psi) \overline{w_1''(t_1)} + \overline{B(\psi) w_1''(t_1)} + C(\psi) \overline{w_2''(t_2)} = M(t);$$

$$A(\psi) = \alpha t_1'(s); \quad B(\psi) = \beta t_1'(s); \quad C(\psi) = \gamma t_2'(s);$$

$$\alpha = \frac{\bar{A}_2 B_1}{\bar{\mu}_2} - \frac{A_1 \bar{B}_2}{\mu_1}; \quad \beta = \frac{A_2 B_1}{\mu_2} - \frac{A_1 B_2}{\bar{\mu}_1}; \quad \gamma = \frac{\bar{A}_2 B_2}{\bar{\mu}_2} - \frac{A_2 \bar{B}_2}{\mu_2};$$

$$t_v'(s) = \frac{dt_v(s)}{ds} = \mu_v \cos \psi - \sin \psi; \quad t \in L = \bigcup_{j=1}^k L_j \quad (v = 1, 2);$$

$$A_v = D_{11} + D_{12} \mu_v^2 + 2D_{16} \mu_v; \quad B_v = D_{12} + D_{22} \mu_v^2 + 2D_{26} \mu_v; \quad (1.1)$$

$$t_v = \operatorname{Re} t + \mu_v \operatorname{Im} t; \quad z_v = \operatorname{Re} z + \mu_v \operatorname{Im} z \quad (v = 1, 2);$$

$$\overline{M(t)} = q_*(t) \left(B_2 \sin \psi - \frac{A_2}{\mu_2} \cos \psi \right) - m_*(t) \left(B_2 \cos \psi + \frac{A_2}{\mu_2} \sin \psi \right);$$

$$m_*(t) = M_{11} \cos^2 \psi + M_{22} \sin^2 \psi + M_{12} \sin 2\psi - m(t);$$

$$q_*(t) = B + (M_{22} - M_{11}) \cos \psi \sin \psi + M_{12} \cos 2\psi - \int_0^{s(t)} q(s_0) ds_0.$$

Здесь D_{ij} — соответствующие цилиндрические жесткости; μ_v ($v=1,2$) — характеристические числа [1]; t — предельное значение аффикса z на L ; Ψ — угол между внешней нормалью к левому берегу разрезов и осью ox (см. рисунок); s, s_0 — натуральные координаты дуг; $B = \{B_j\}$ на L_j — постоянные интегрирования.

Представления искомых функций возьмем в виде

$$\omega_v(z_v) = \frac{1}{2\pi i} \int_L \frac{p_v(t) dt_v}{t_v - z_v} \quad (v=1,2); \quad (1.2)$$

$$p_v(t) = \{p_{vj}(t), t \in L_j\} \quad (j=\overline{1,k}).$$

§ 2. Основное сингулярное уравнение задачи. Подставляя предельные значения (1.2) на L в (1.1), приходим к связи между $p_1(t)$ и $p_2(t)$

$$C(\Psi) p_2(t) = M_1(t) - A(\Psi) p_1(t) - \overline{B(\Psi)} \overline{p_1(t)} \quad (2.1)$$

и основному сингулярному интегральному уравнению

$$\frac{1}{\pi i} \int_L \frac{p_1(t) dt_1}{t_1 - t_{10}} + \frac{1}{2\pi i} \int_L K_1(t, t_0) p_1(t) dt_1 + \frac{1}{2\pi i} \int_L \overline{K_2(t, t_0)} \overline{p_1(t)} dt_1 = N(t_0);$$

$$K_1(t, t_0) = \frac{d}{dt_1} \ln \frac{t_1 - t_{10}}{t_2 - t_{20}}; \quad t_{v0} = \operatorname{Re} t_0 + \mu_v \operatorname{Im} t_0; \quad t_0 \in L; \quad (2.2)$$

$$K_2(t, t_0) \overline{B(\Psi_0)} = A(\Psi_0) \frac{d}{dt_{10}} \ln \frac{t_1 - t_{10}}{t_2 - t_{20}}; \quad 2\overline{B(\Psi_0)} \overline{N(t_0)} = M_2(t_0) - \frac{c(\Psi_0)}{\pi i} \int_L \frac{M_1(t) dt_2}{C(\Psi)(t_2 - t_{20})};$$

$$M_1(t) = M^+(t) - M^-(t); \quad M_2(t) = M^+(t) + M^-(t).$$

Здесь $M^+(t)$ и $M^-(t)$ — значения $M(t)$ на левом и правом берегах разрезов L соответственно.

При сделанных допущениях относительно L ядра $K_1(t, t_0)$ и $K_2(t, t_0)$ могут иметь не более, чем слабую особенность [3]. Действительно,

$$K_1(t, t_0) = \frac{1}{t'_1(s_0)} \left(\frac{1}{\cos \Theta + \mu_2 \sin \Theta} - \frac{1}{\cos \Theta + \mu_1 \sin \Theta} \right) \frac{d\Theta}{ds_0};$$

$$\overline{A(\Psi_0)} K_2(t, t_0) = \frac{1}{t'_1(s_0)} \left(\frac{1}{\cos \Theta + \mu_2 \sin \Theta} - \frac{1}{\cos \Theta + \mu_1 \sin \Theta} \right) \frac{d\Theta}{ds_0}; \quad (2.3)$$

$$\frac{d\Theta}{ds_0} = \frac{\sin(\Theta - \Theta_0)}{|t - t_0|}; \quad \Theta = \arg(t - t_0); \quad \Psi_0 = \psi(s_0),$$

где Θ_0 — угол между положительной касательной к L в точке t_0 и осью ox .

Система уравнений (2.2) имеет наиболее простой вид, когда разрезы L_j прямолинейны и расположены на одной прямой,

$$\frac{1}{\pi i} \int_L \frac{p_1(t) dt_1}{t_1 - t_{10}} = N(t_0). \quad (2.4)$$

К основному уравнению (2.2) необходимо присоединить k условий однозначности тангенциального перемещения $u+iv$ и k условий однозначности функций прогиба w .

Интегрируя функции (1.2), находя приращения функций $w'_v(z_v)$ и $w_v(z_v)$ при обходе вокруг контура L^j , учитывая (2.1) и формулы для тангенциальных смещений u и v в пластине [1], получаем условие однозначности смещений u и v

$$\int_{L_j} p_1(t) dt_1 = 0 \quad (j = \overline{1, k}) \quad (2.5)$$

и условия однозначности функции прогиба

$$\operatorname{Re} \int_{L_j} p_1(t) \left(t_1 - \frac{\alpha}{\gamma} t_2 - \frac{\beta}{\gamma} \bar{t}_2 \right) dt_1 = 0 \quad (j = \overline{1, k}). \quad (2.6)$$

Поскольку решение уравнения (2.2) разыскивается в классе h_0 [3], дополнительные условия (2.5) и (2.6) удовлетворяются за счет постоянных интегрирования B_j , фигурирующих в правой части краевого условия (1.1), и появляющихся произволов в функции $p_1(t)$.

§ 3. Предельный переход к изотропной среде. Система (2.2) допускает прямой предельный переход по схеме работы [4]. Опуская громоздкие выкладки, приведем окончательные результаты .

$$M_{xx} + M_{yy} = -8D(1+\mu) \operatorname{Re} \Phi(z);$$

$$M_{yy} - M_{xx} + 2iM_{xy} = 4D(1-\mu)[\bar{z}\Phi'(z) + \Psi(z)];$$

$$\begin{aligned} \Phi(z) = & -\frac{1}{4\pi i} \int_L \frac{p(t) dt}{t-z}; \quad \Psi(z) = \frac{1}{4\pi i n} \int_L \frac{\overline{p(t)} e^{-2it\psi}}{t-z} dt + \\ & + \frac{1}{4\pi i} \int_L p(t) \left(2 + e^{-2i\psi} + \frac{\bar{t}}{t-z} \right) \frac{dt}{t-z} + \frac{1}{2\pi i} \int_L \frac{M_1(t) dt}{t-z}; \quad n = \frac{1-\mu}{3+\mu}. \end{aligned} \quad (3.1)$$

Здесь μ — коэффициент Пуассона; D — цилиндрическая жесткость.

Для плотности $p(t)$ получаем сингулярное уравнение

$$\begin{aligned} \frac{1}{\pi i} \int_L \frac{p(t) dt}{t-t_0} + \frac{1}{2\pi i} \int_L G_1(t, t_0) p(t) dt + \frac{1}{2\pi i} \int_L \overline{G_2(t, t_0)} \overline{p(t)} dt = N(t_0); \\ G_1(t, t_0) = \frac{d}{dt_0} \ln \frac{t-t_0}{\bar{t}-\bar{t}_0}; \quad G_2(t, t_0) = 2n \frac{(t-t_0) + (\bar{t}-\bar{t}_0) e^{2it\psi_0}}{(t-t_0)^2}; \\ N(t_0) = \frac{1}{2(3+\mu)D} [(m_*^+(t_0) + m_*^-(t_0)) + i(q_*^+(t_0) + q_*^-(t_0))]. \end{aligned} \quad (3.2)$$

где $m_*^+(t)$, $m_*^-(t)$ и $q_*^+(t)$, $q_*^-(t)$ — значения $m_*(t)$, $q_*(t)$ на левом и правом берегах разрезов L соответственно.

§ 4. Асимптотические выражения для моментов в окрестности концов разрезов. Используя асимптотические значения интеграла типа Коши в окрестности концов линии интегрирования [3] и выражения для моментов [1], находим

$$M_{xx} = -\frac{1}{V r_j} \operatorname{Re} \sum_{v=1}^2 A_v \Omega_v(c_j) \Gamma_v(\vartheta_j); \quad r_j = |z - c_j|;$$

$$M_{yy} = -\frac{1}{V r_j} \operatorname{Re} \sum_{v=1}^2 B_v \Omega_v(c_j) \Gamma_v(\vartheta_j); \quad \vartheta_j = \arg(z - c_j);$$

$$\begin{aligned}
 M_{xy} = -\frac{1}{V r_j} \operatorname{Re} \sum_{v=1}^2 C_v \Omega_v(c_j) \Gamma_v(\vartheta_j); \quad a_{1j} = \operatorname{Re} a_j + \mu_1 \operatorname{Im} a_j; \quad b_{1j} = \operatorname{Re} b_j + \mu_1 \operatorname{Im} b_j; \\
 \Omega_1(c_j) = \frac{1}{V b_{1j} - a_{1j}} \lim_{t \rightarrow c_j} [p_1(t) V(t_1 - a_{1j})(t_1 - b_{1j})]; \\
 \Omega_2(c_j) = -\frac{\alpha}{\gamma} \left(\frac{t'_1(c_j)}{t'_2(c_j)} \right)^{1/2} \Omega_1(c_j) - \frac{\bar{\beta}}{\gamma} \left(\frac{t'_1(c_j)}{t'_2(c_j)} \right)^{1/2} \overline{\Omega_1(c_j)};
 \end{aligned} \tag{4.1}$$

$$C_v = D_{16} + D_{28} \mu_v^2 + 2D_{68} \mu_v; \quad \Gamma_v^{-1}(\vartheta_j) = \sqrt{\pm (\cos \vartheta_j + \mu_v \sin \vartheta_j)} \quad (v = 1, 2).$$

Здесь a_j и b_j — начало и конец дуги L_j ; верхний знак берется при $c_j = b_j$ и нижний при $c_j = a_j$; величины A_v и B_v заданы в (1.1).

В изотропном случае из (4.1) получаем

$$k_B(c_j) - ik_S(c_j) = \frac{3\sqrt{\pi}(3+\mu)D}{h^2 \sqrt{2(b_j - a_j)}} \lim_{t \rightarrow c_j} [p(t) V(t - a_j)(t - b_j)], \tag{4.2}$$

где h — толщина пластинки; k_B и k_S — соответствующие коэффициенты интенсивности.

§ 5. Примеры. Приведем результаты решений для одного прямолинейного разреза, ориентация которого определяется углом $\psi = -\pi/2$. Основное уравнение имеет вид (2.4).

Введем натуральный параметр $s \in [-l, l]$, отсчитываемый от середины разреза. Тогда $t_v = s$, $v = 1, 2$. Решение основного уравнения имеет вид

$$\begin{aligned}
 p_1(s_0) &= \frac{1}{\pi i \sqrt{s_0^2 - l^2}} \int_{-l}^{+l} N(s) \frac{\sqrt{s^2 - l^2}}{s - s_0} ds; \\
 \Omega_1(l) &= -\frac{1}{\pi \sqrt{2l}} \int_{-l}^{+l} N(s) \sqrt{\frac{l+s}{l-s}} ds.
 \end{aligned} \tag{5.1}$$

Асимптотика моментов (4.1) для прямолинейной трещины с помощью (5.1) приводится к виду ($c_j = l$; $\vartheta_j = \vartheta$)

$$\begin{aligned}
 M_{xx} &= \frac{k_1}{\sqrt{2\pi r}} \operatorname{Re} \left[\frac{A_1 A_2}{\beta \mu_1 \mu_2} (\mu_2 \Gamma_2(\vartheta) - \mu_1 \Gamma_1(\vartheta)) \right] + \\
 &\quad + \frac{k_2}{\sqrt{2\pi r}} \operatorname{Re} \left[\frac{1}{\beta} (B_1 A_2 \Gamma_2(\vartheta) - B_2 A_1 \Gamma_1(\vartheta)) \right]; \\
 M_{yy} &= \frac{k_1}{\sqrt{2\pi r}} \operatorname{Re} \left[\frac{1}{\beta} \left(\frac{A_1 B_2}{\mu_1} \Gamma_2(\vartheta) - \frac{A_2 B_1}{\mu_2} \Gamma_1(\vartheta) \right) \right] + \\
 &\quad + \frac{k_2}{\sqrt{2\pi r}} \operatorname{Re} \left[\frac{B_1 B_2}{\beta} (\Gamma_2(\vartheta) - \Gamma_1(\vartheta)) \right]; \\
 M_{xy} &= \frac{k_1}{\sqrt{2\pi r}} \operatorname{Re} \left[\frac{1}{\beta} \left(\frac{A_2 C_1}{\mu_2} \Gamma_1(\vartheta) - \frac{A_1 C_2}{\mu_1} \Gamma_2(\vartheta) \right) \right] + \\
 &\quad + \frac{k_2}{\sqrt{2\pi r}} \operatorname{Re} \left[\frac{1}{\beta} (C_1 B_2 \Gamma_1(\vartheta) - C_2 B_1 \Gamma_2(\vartheta)) \right].
 \end{aligned} \tag{5.2}$$

Здесь k_1 и k_2 — коэффициенты интенсивности моментов, по смыслу аналогичные коэффициентам интенсивности напряжений.

Имеет место равенство

$$\frac{A_2}{\mu_2} k_1(l) + B_2 k_2(l) = -V \sqrt{2\pi} \beta \overline{\Omega_1(l)}. \quad (5.3)$$

Если к берегам трещины в точке $s=\xi$ приложены сосредоточенные изгибающий M_n и крутящий M_{ns} моменты, то для k_1 и k_2 из (5.3) получаем

$$k_1(l) = \frac{M_n}{V \pi l} \sqrt{\frac{l+\xi}{l-\xi}}; \quad k_2(l) = \frac{M_{ns}}{V \pi l} \sqrt{\frac{l+\xi}{l-\xi}}. \quad (5.4)$$

Если к берегам трещины приложены распределенные изгибающий $m(s)$ и крутящий $h(s)$ моменты и на бесконечности действуют изгибающие M_{11} , M_{22} и крутящие M_{12} моменты, то коэффициенты интенсивности имеют вид

$$k_1(l) = \frac{1}{V \pi l} \int_{-l}^{+l} m(s) \sqrt{\frac{l+s}{l-s}} ds - M_{22} V \pi l; \\ k_2(l) = M_{12} V \pi l + \frac{1}{V \pi l} \int_{-l}^{+l} h(s) \sqrt{\frac{l+s}{l-s}} ds. \quad (5.5)$$

С помощью асимптотических выражений моментов (5.2) можно получить асимптотики напряжений в вершине трещины по известному правилу $\sigma_{ij} = 12zh^{-3}M_{ij}$ (z — расстояние от нейтрального слоя), интенсивность которых принято определять коэффициентами k_B и k_S , связанными с k_1 и k_2 соотношениями

$$k_B = 6h^{-2}k_1; \quad k_S = 6h^{-2}k_2. \quad (5.6)$$

ЛИТЕРАТУРА

1. Лехницкий С. Г. Анизотропные пластинки.— М.: Гостехиздат, 1957.— 355 с.
2. Линьков А. М., Меркулов В. А. Задача об изгибе пластин с разрезами.— Изв. АН СССР. Механика твердого тела, 1975, № 1, с. 111—119.
3. Мусхелишвили Н. И. Сингулярые интегральные уравнения.— М.: Наука, 1968.— 512 с.
4. Фильшинский Л. А. Упругое равновесие плоской анизотропной среды, ослабленной произвольными криволинейными трещинами. Предельный переход к изотропной среде.— Изв. АН СССР. Механика твердого тела, 1976, № 5, с. 91—97.

Сумский филиал
Харьковского политехнического института
Новосибирский электротехнический институт

Поступила
15.XI 1977 г.